

2mm 斑纹移动干涉仪的研制及其用于探测电子密度

刘铁群 李唯强 杨宣宗

(中国科学院物理研究所)

用毫米波斑纹移动干涉观测等离子体电子密度，测量结果较准确，受扰动小。自1979年以来，我们用研制的8mm、4mm和3mm干涉仪系统对受控热核聚变装置CT-6B多次观测电子密度和有关现象，取得了较满意的结果，从观测结果得知，CT-6B的电子密度可达 $4 \times 10^{13}/\text{cm}^3$ 。为了使得在诊断高电子密度时波不被截止，避免非线性误差和减小对入射波的折射效应，并为开展其他应用创造条件，我们又研制了2mm系统与4mm系统构成的一个混合干涉仪系统，并在CT-6B上进行实验，其结果也是令人满意的。

一、基本原理概述

斑纹移动干涉测量电子密度的原理是利用电子与电磁波的相互作用，当入射波穿透等离子体时，会产生相移，电子密度越高，产生的相移越大，相应地移动条纹数也越多，根据移动的条纹数，便可确定线平均电子密度值。

当忽略碰撞效应和磁场效应时，发射-接收喇叭天线使波传播方向与装置环向场垂直，其寻常波折射率为

$$\mu = \left(1 - \frac{\omega_p^2}{\omega_c^2}\right)^{1/2} \approx 1 - \frac{1}{2} \frac{n_e}{n_{ec}},$$

其中 n_{ec} 为临界电子密度，

$$n_{ec} = \frac{e_0 m_e \omega_c^2}{c^2} \approx 1.24 \times 10^{-4} f_c^2 / \text{cm}^3.$$

当 $n_e \ll n_{ec}$ 时，相移量为

$$\Delta\phi = \int_0^L \frac{2\pi(\mu - 1)}{\lambda_c} dL,$$

其中 L 为波穿透等离子体的路径。经简化，平均电子密度值为

$$\bar{n}_e \doteq 118.4 \left(\frac{f_c \cdot \Delta\phi}{L} \right) / \text{cm}^3$$

或

$$\bar{n}_e \doteq n_{ec} \left(\frac{2 \cdot \lambda_c \cdot N}{L} \right) / \text{cm}^3,$$

其中 N 为移动的条纹数，每移动一个条纹即为移动 2π 弧度。

二、系统方框图

系统方框图如图1所示。在观测一般密度值时，调两个静态条纹即可，但细致观测不稳定性密度涨落和快速变化等物理现象时，静态条纹数多些为好。波源输出功率为 20—40mW。国外用示波器观测条纹时，采用 Z 轴增辉，这种方法因示波器的差异会带来一些限制和不便，因而我们研制了增辉变换器，将 Z 轴增辉改为 Y 轴接入显示。

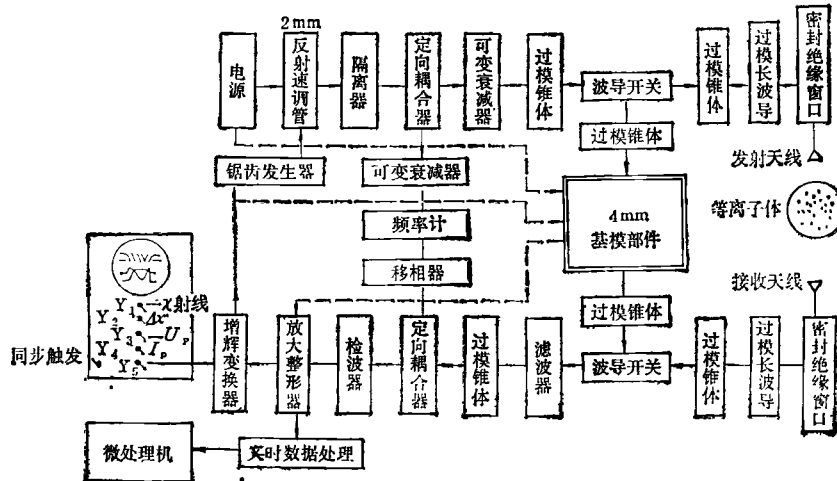


图1 2-4mm 斑马条纹干涉仪混合系统方框图

三、实验初步结果

图 2 和图 3 分别为无和有脉冲补充送气时的实验照片。

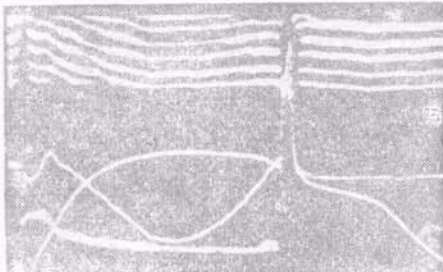


图 2 没有脉冲补充送气时 2mm(135GHz) 斑纹波形
 $B_T = 9.35\text{kG}$; $P_0 = 3.3 \times 10^{-7}\text{Torr}$; $t = 5\text{ms}/\text{格}$;
上一线为干涉条纹；上二线为等离子体水平位移， $\Delta x = 8\text{mm}/\text{格}$ ；上三线为等离子体环电压， $U_p = 10\text{V}/\text{格}$ ；上四线为等离子体环电流， $I_p = 10\text{kA}/\text{格}$

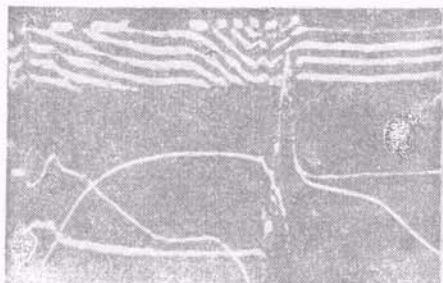


图 3 有脉冲补充送气时 2mm(135GHz) 斑纹波形
延迟 12ms ; $8\text{Torr} \cdot \text{l/s}$; 其他与图 2 同

有补充送气时，等离子体不易平衡稳定，一般情况下，等离子体电流，电压和约束时间无大变化，而电子密度可成倍地增加，相应地等离子体较快地水平外移，然后迅速内移而猝灭；没有补充送气时，等离子体的约束时间和密度平坦区可增大，但密度增加有一定的限度。

高密度实验图片略，后期电子密度已进入非线性范围，后期一段条纹较模糊，是严重的折射效应和等离子体不稳定快速位移所致。从图 4 可清楚地看到数据

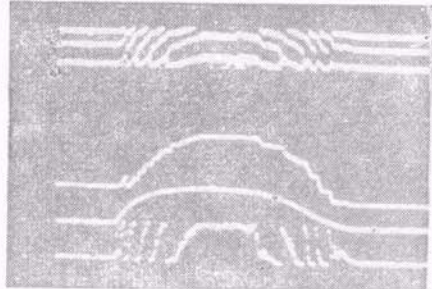


图 4 4mm(71GHz) 斑纹图 ($t = 5\text{ms}/\text{格}$)

上一线：干涉斑纹图；上二线：条纹实时处理后电子密度线；上三线： I_p 为 $10\text{kA}/\text{格}$ ；上四线：条纹数据处理对应线

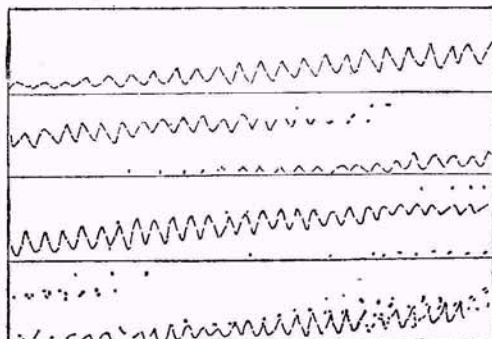


图 5 电子密度涨落波形
 $f_0 = 93\text{GHz}$; $F = 20\text{kHz}$; $\tilde{N}/N = 3-5\%$;
 $t = 0.25\text{ms}/\text{格}$

处理的相应情况。

图 5 为观测到的电子密度涨落，该现象在等离子体某一时刻存在，其规律尚待进一步研究。

在该混合系统中除 2mm 功率源采用进口管外，全部自行设计制造，初步实验证明，此系统稳定可靠，可用于受控热核聚变研究和空间等离子体模拟实验等研究。

参 考 文 献

- [1] 刘铁群, 崔演生, 核聚变与等离子体物理, 2-2(1982), 114.
- [2] 刘铁群, 崔演生, 等离子体通讯, No. 6(1983), 1.

更 正

1985 年第 11 期第 685 页图 1 中的 E_i 和 E_v 的下标漏印；第 689 页图 6 中的 E_s 应为 E_i ，右边的 $q\phi_s$ 应为 $q\phi_i$ 。